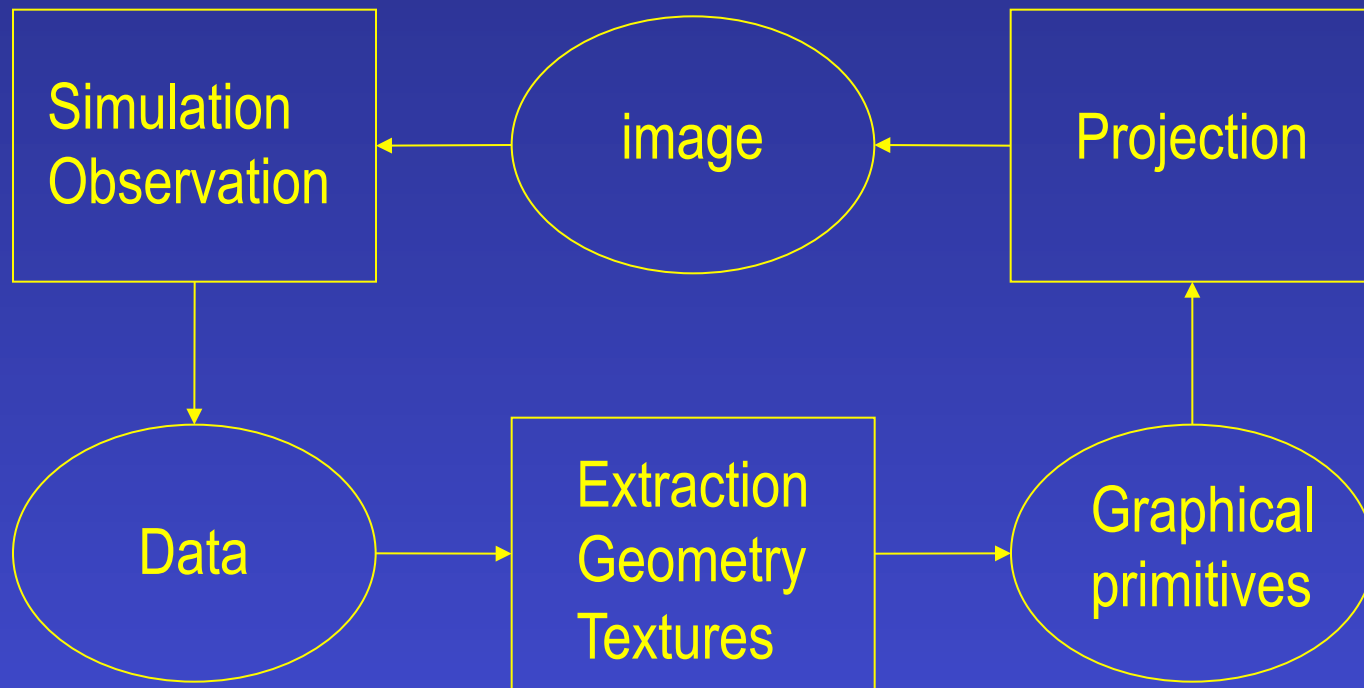
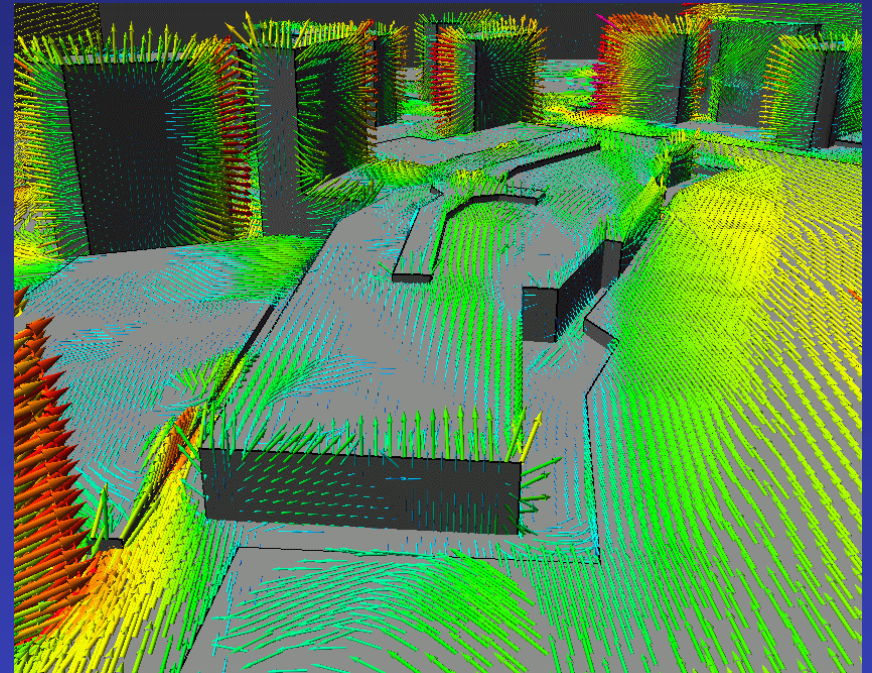
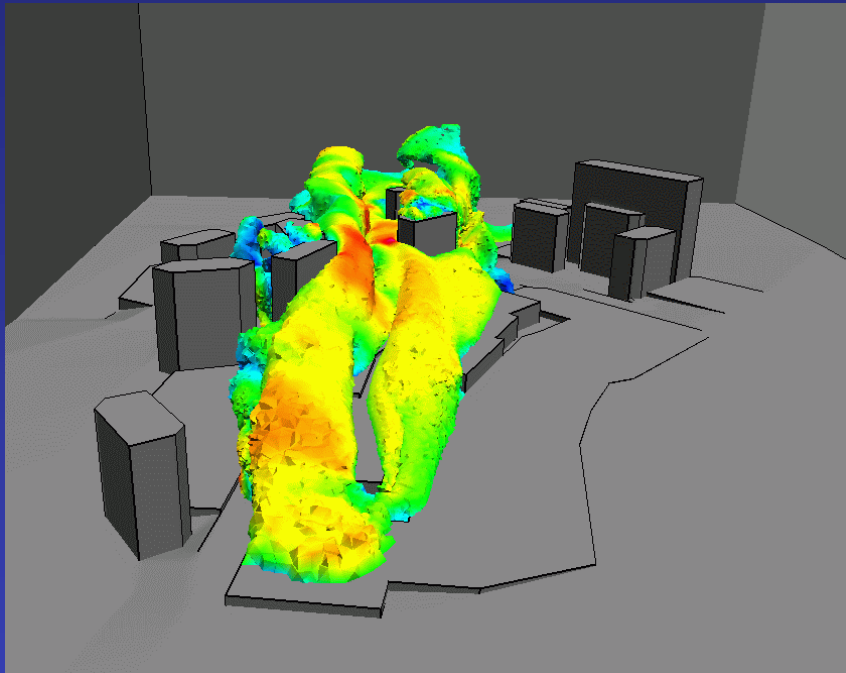


Simulation - Visualisation Loop

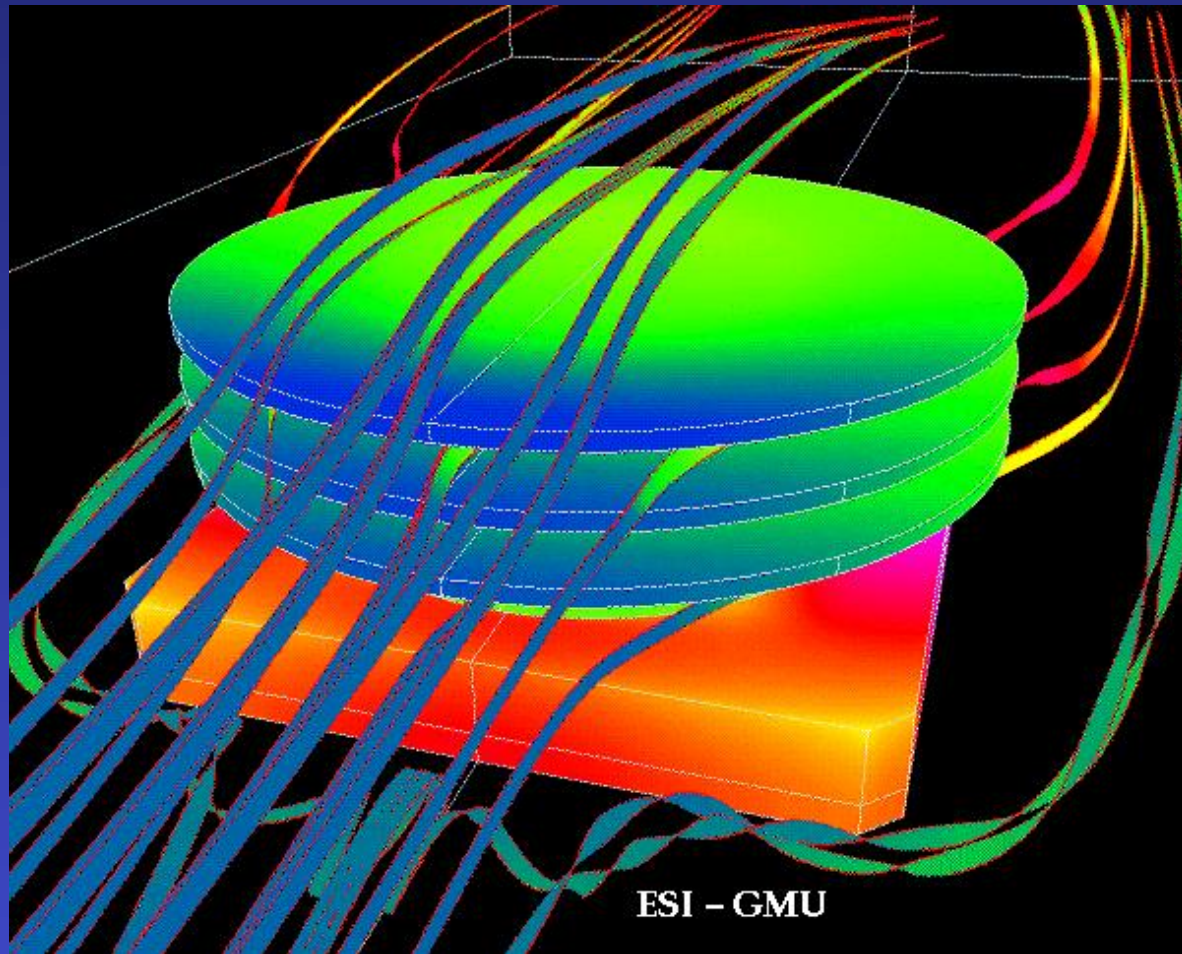


Visualization Examples

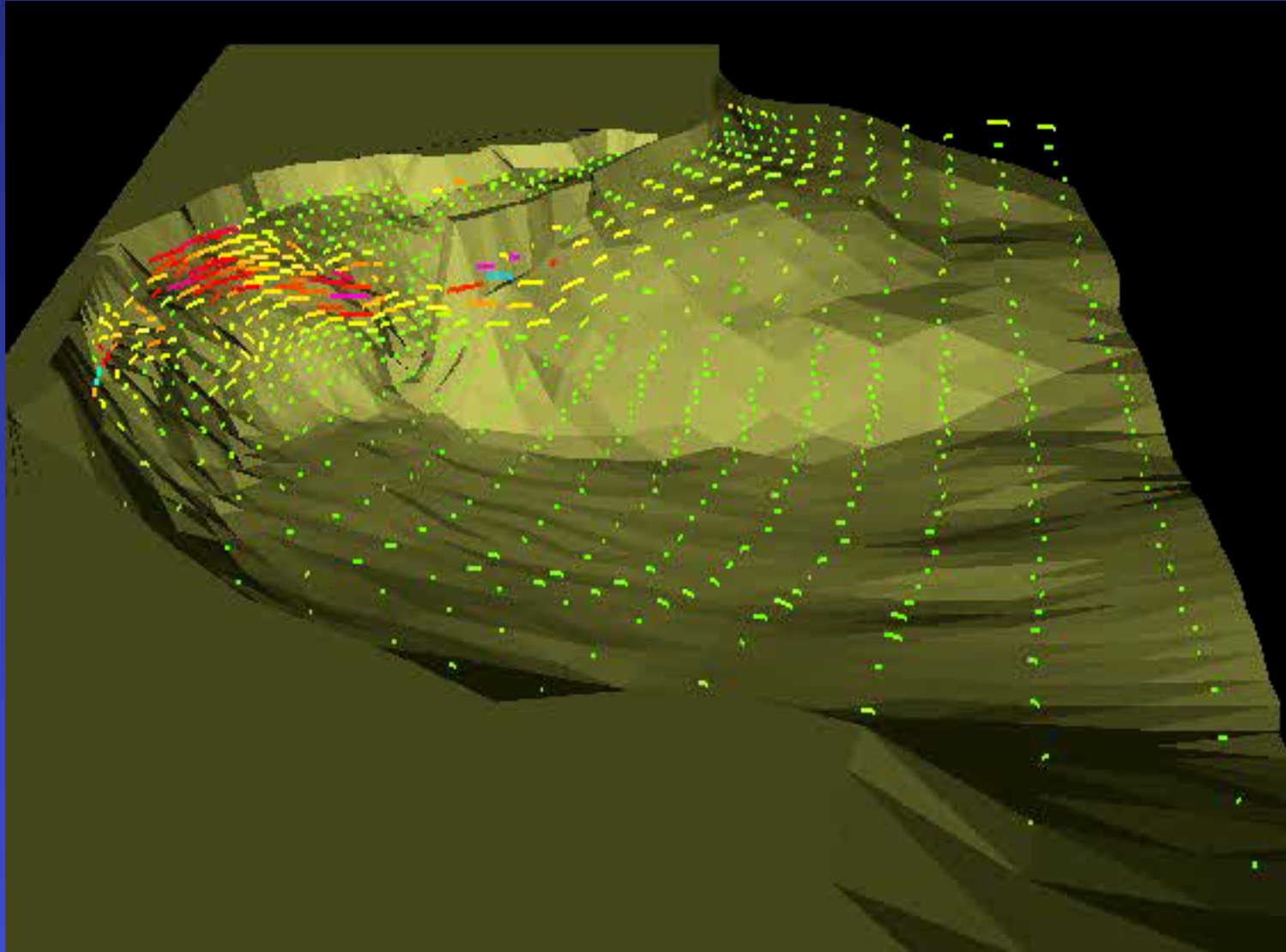


Data: concentration : 1 scalar defined in the volume
velocity: 1 3D vector defined in the volume

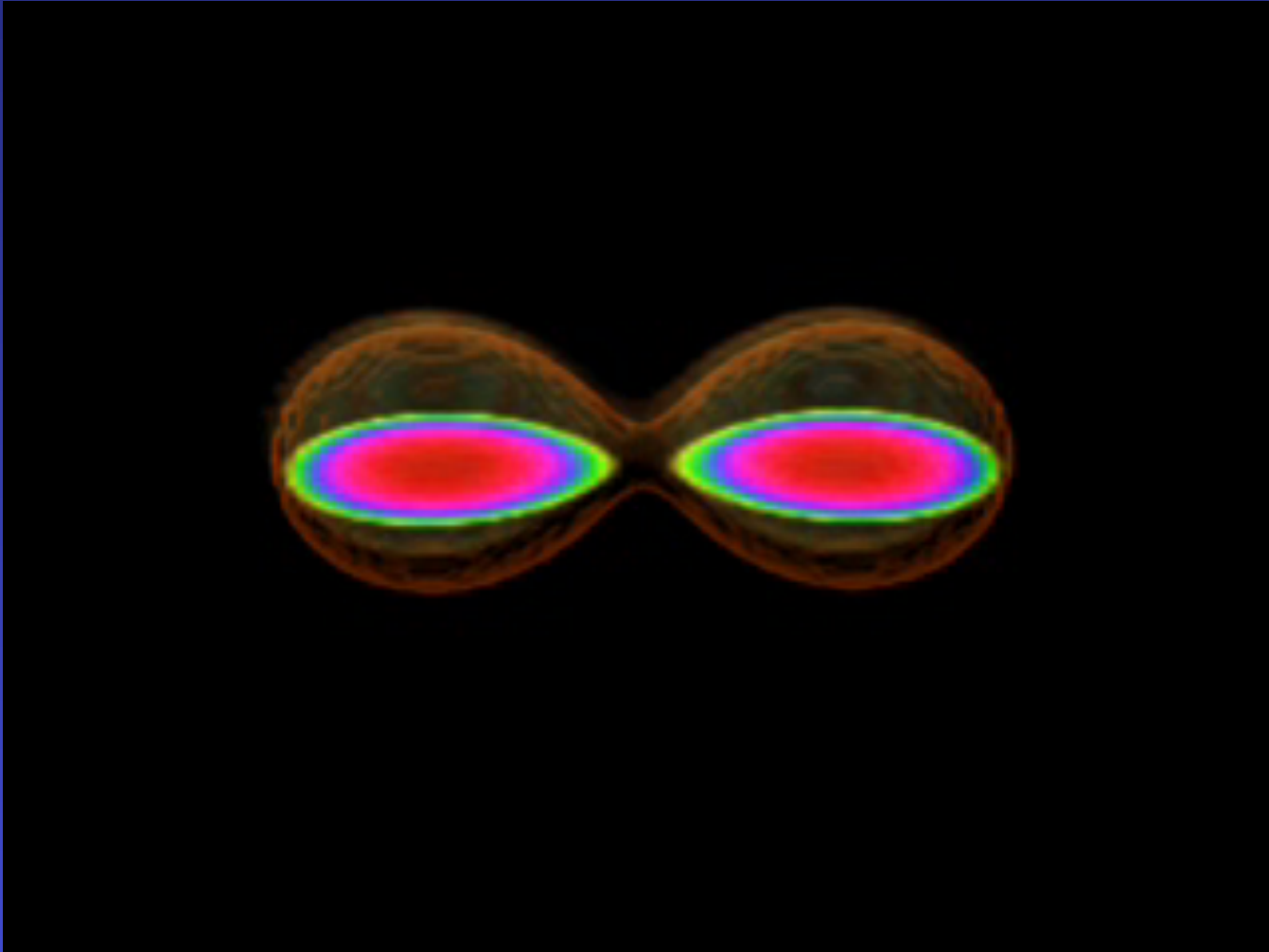
Techniques: Colored Isosurfaces, Colored Arrows



Visualization Examples

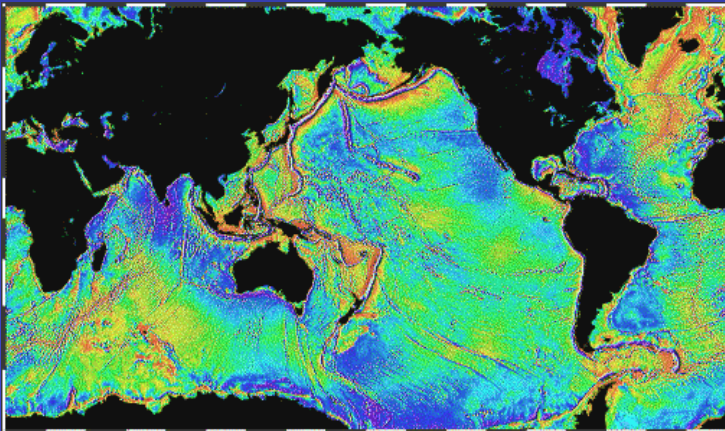


Visualization Examples

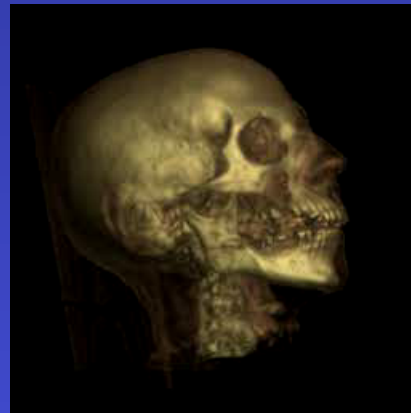


Large Datasets in Scientific Visualization

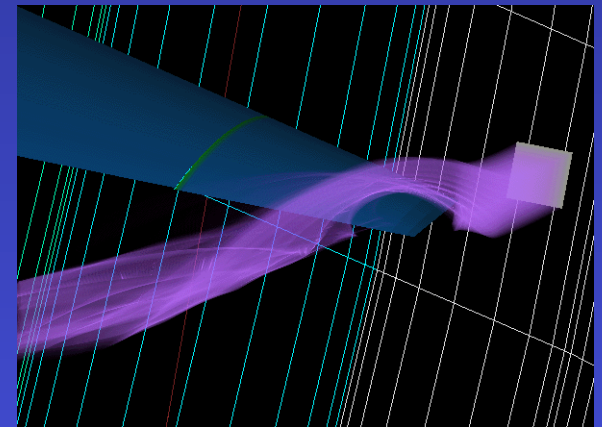
- Satellite Observation
- Volumetric medical data (scanner MRI/CT)
- Numerical simulation: static, dynamic



ERS-1/GeoSat

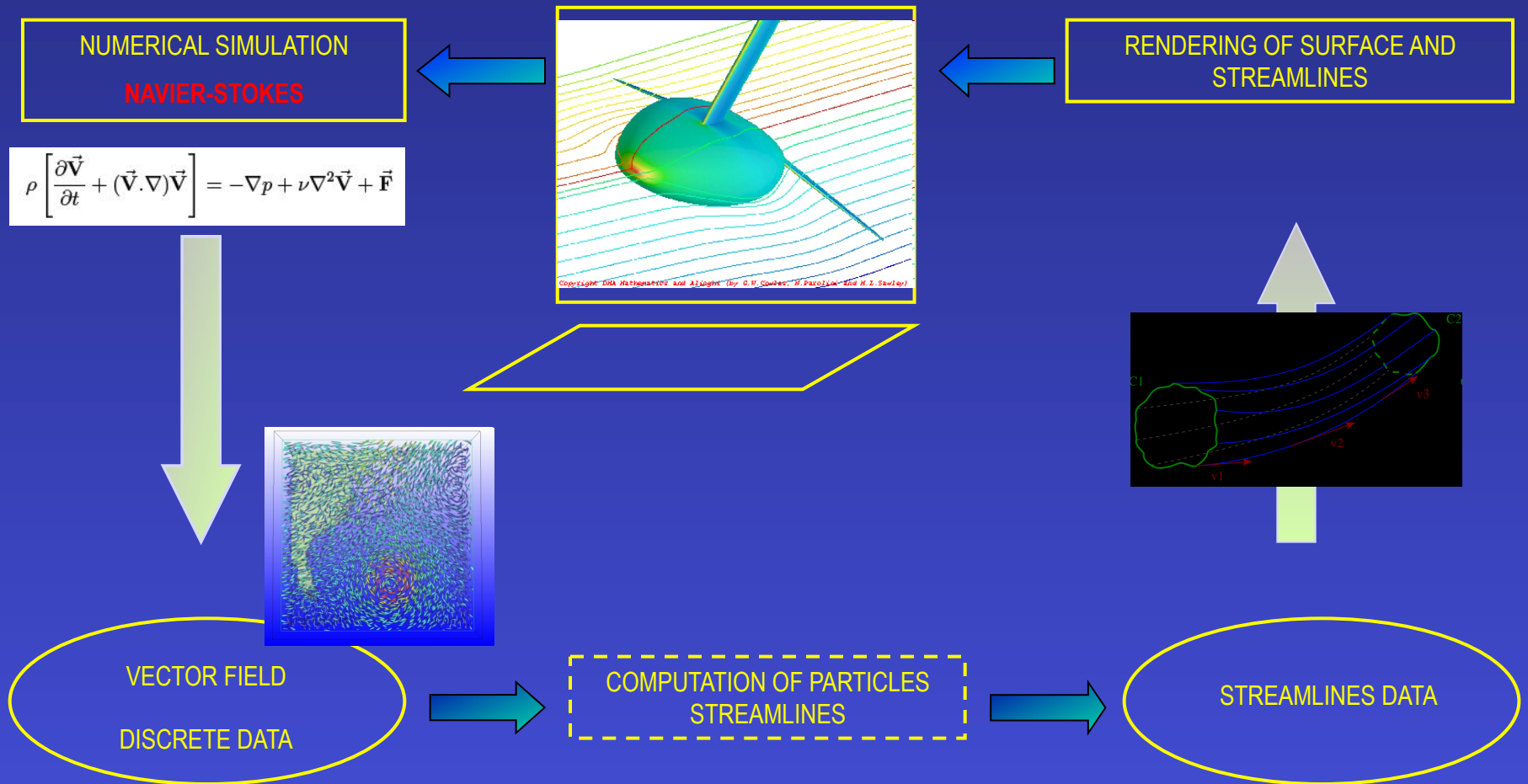


Stanford



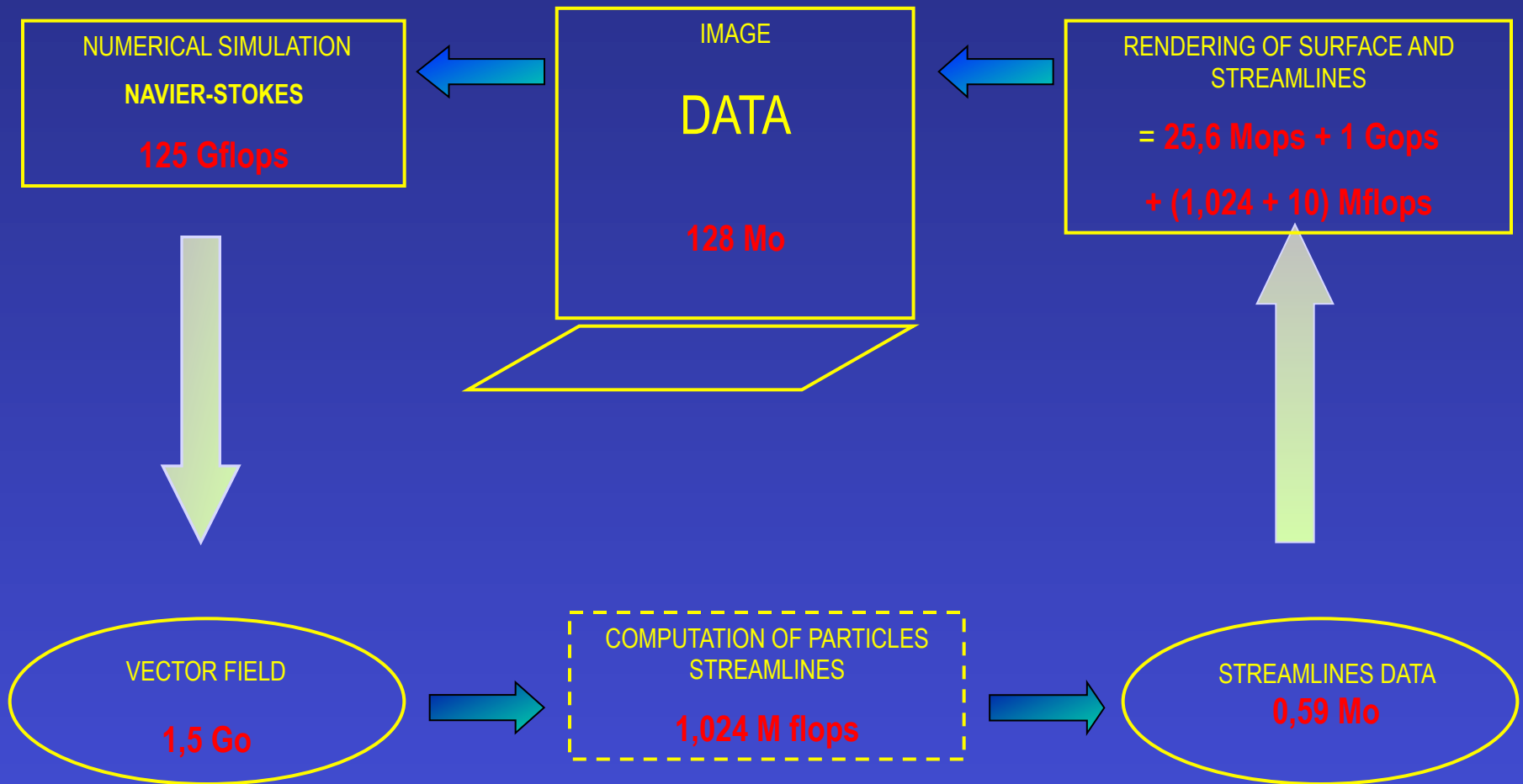
LLNL

Loop Simulation-Visualization in fluid dynamics



Time complexity

Bandwidth complexity



- NASA's Turbo Pump > 100 Go
- Oak Ridge Supernova > 1 To
- Richtmyer-Meshkov Turbulent > 207 To

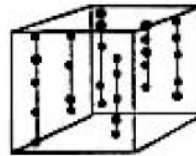
Kilo-octet (Ko)	10^3 octets	Page dactilographiée
Mega-octet (Mo)	10^6 octets	Petit roman
Giga-octet (Go)	10^9 octets	Camionnette remplies de romans
Tera-octet (To)	10^{12} octets	$2To$: bibliothèque académique
Peta-octet (Po)	10^{15} octets	$200Po$: tout ce qui a été déjà imprimé
Exa-octet (Eo)	10^{18} octets	$5Eo$: tous les paroles depuis le début de l'humanité

TAB. 7.1 – du Ko à l'Eo - curtesy of Kasik

Recherche de gisements pétrolières



• WELL LOG DATA (Courtesy D.Lane & D.Krinsel)

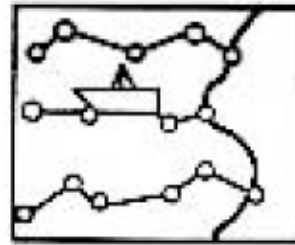


Location			Mineral
5.50	1.00	0.00	11.0
5.50	1.00	10.00	10.0
.	.	.	.
.	.	.	.
.	.	.	.
.	.	.	.
.	.	.	.



Données: $(x_i, y_i, z_{i_j}; M_{i_j})$ $i = 1, \dots, N$, $i_j = 1, \dots, N_i$.

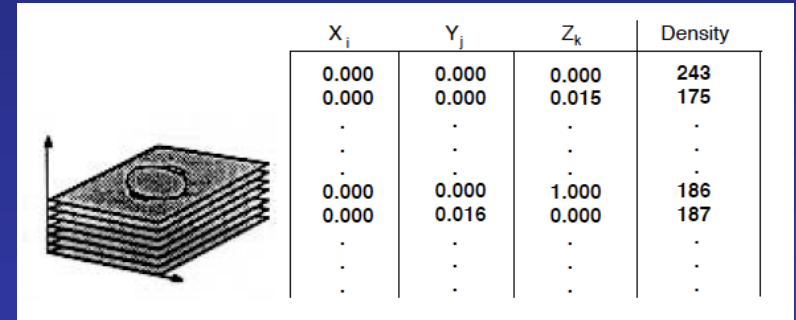
Mesures océanographiques



Location		Temperature
23.56	37.80	27.3
49.29	54.78	69.2
67.24	43.42	10.2
.	.	.
.	.	.
.	.	.
.	.	.

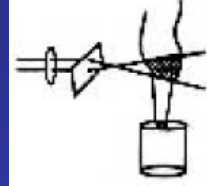
$$(x_{ij}, y_{ij}; T_{ij}) \quad i, j = 1, \dots, N, M.$$

Scanneurs médicaux



Données: $F_{ijk} = F(x_i, y_j, z_k)$ $i, j, k = 1, \dots, N$.

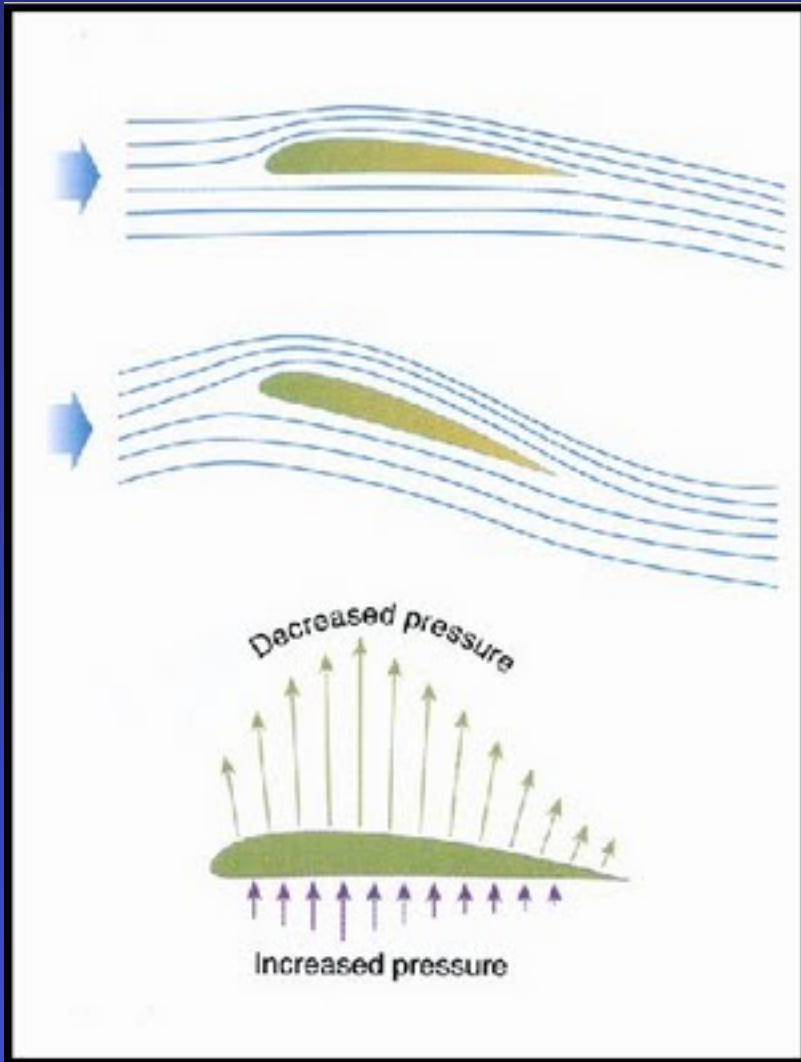
Mesures optiques de combustion



	Location			Concentration
0.00	0.00	0.02	001	
0.00	0.00	0.04	007	
0.00	0.00	0.06	003	
.	.	.	.	
.	.	.	.	
.	.	.	.	
.	.	.	.	

$$(r_i \cos(\Phi_j), r_i \sin(\Phi_j), z_k; C_{ijk})$$

Mesure de pression aérodynamique



Location	Location			Pressure
	-132.1	38.5	6.1	0.164
	-128.3	38.5	6.6	0.119
	-116.8	38.5	7.5	0.067

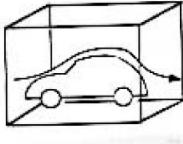
$$(x_{ij}, y_{ij}, z_{ij}; P_{ij}), \quad i = 1, \dots, N_u, \\ j = 1, \dots, N_v,$$

$$(x_{ij}, y_{ij}, z_{ij}) = W(u_i, v_j),$$

$W(u, v)$ surface paramétrique de l'aile.

Aérodynamique



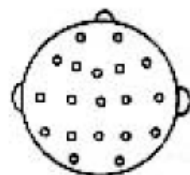
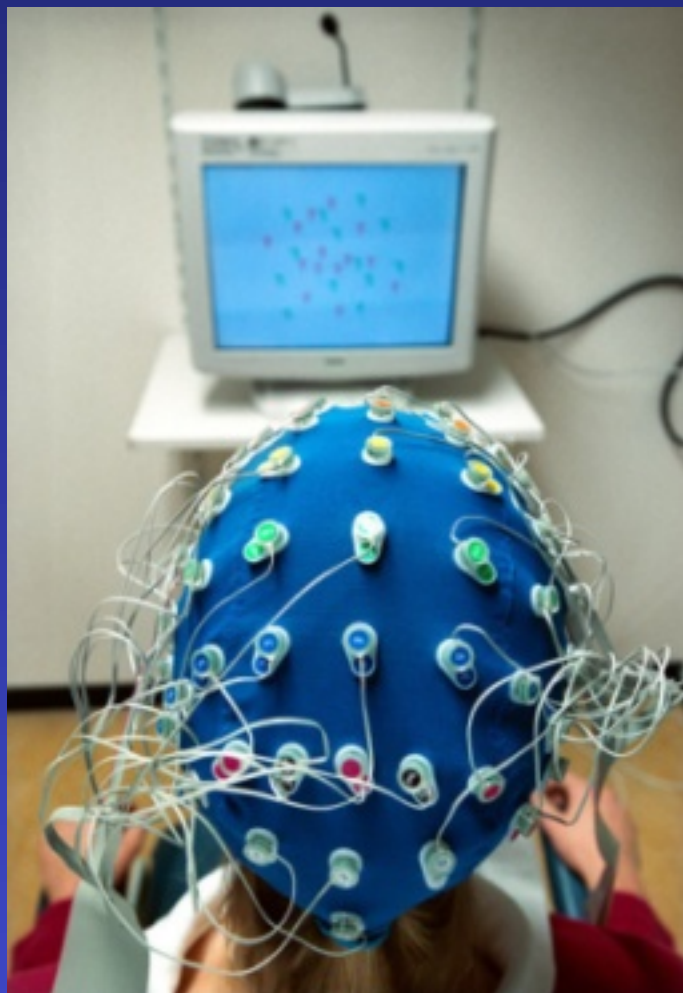
	Location			Velocity		
	7.77	9.45	3.85	(1.33	2.34	0.45)
	4.14	-2.78	2.68	(1.86	3.56	1.25)

$$(x_{ijk}, y_{ijk}, z_{ijk}; (u_{ijk}, v_{ijk}, w_{ijk}))$$

$$i = 1, \dots, N_x,$$

$$j = 1, \dots, N_y,$$

$$k = 1, \dots, N_z.$$



	Location			Voltage
6.54	4.56	5.64	0.033	
9.14	-3.14	1.38	0.086	
9.45	2.12	1.19	0.310	
.	.	.	.	
.	.	.	.	
.	.	.	.	
.	.	.	.	

Données: $(x_i, y_i, z_i; V_{ij})$, $i = 1, \dots, N$,
 $j = 1, \dots, 6$.
 $(x_i, y_i, z_i) \in \text{cr\^a}ne.$



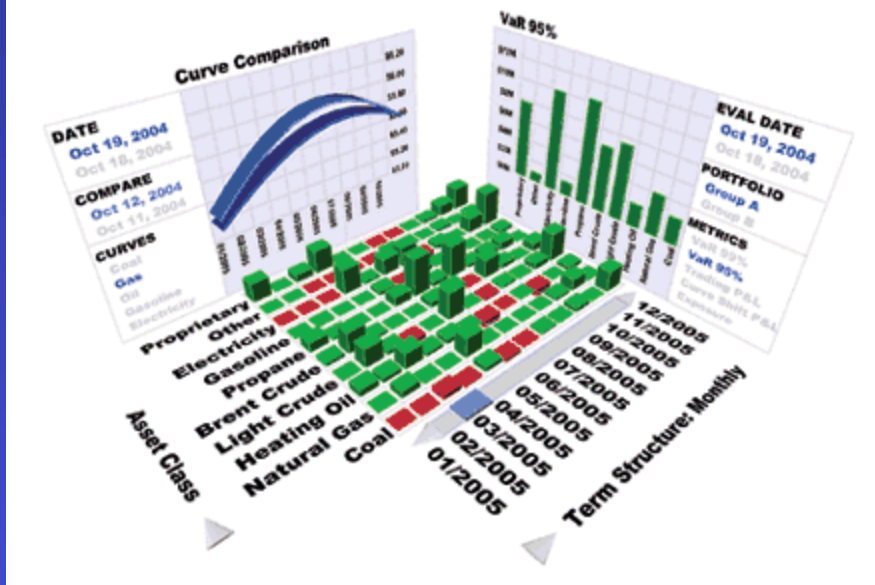
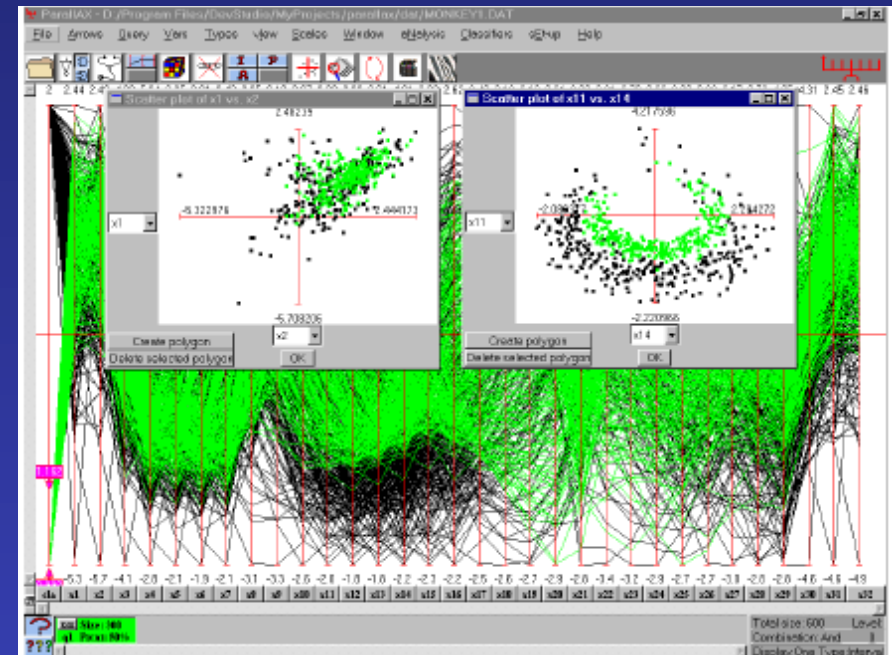
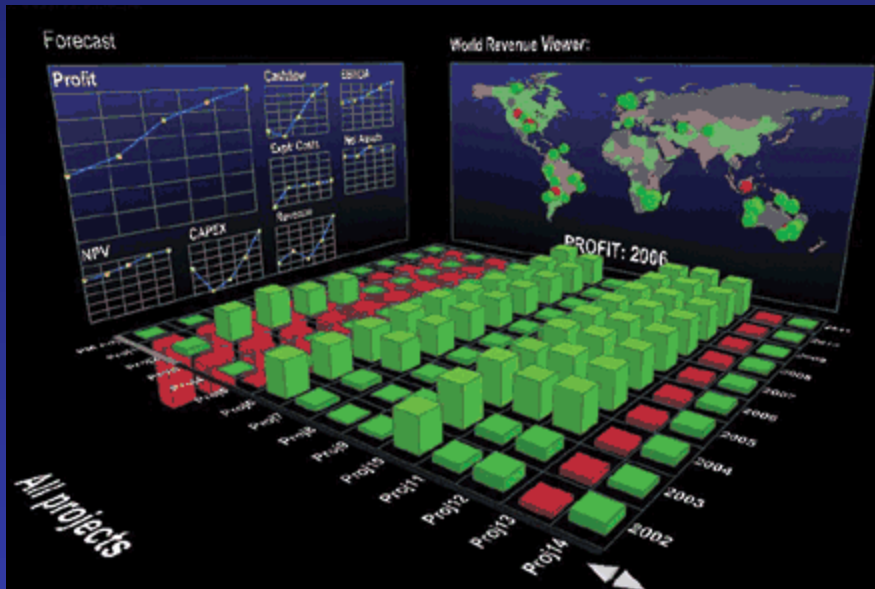

Longitude	Latitude	Rainfall
43 19' 34"	23 36' 13"	14.6
21 35' 59"	45 09' 36"	23.6
43 19' 34"	23 36' 13"	14.6
.	.	.
.	.	.
.	.	.
.	.	.

$$(x_i, y_i, z_i; R_i), \quad i = 1, \dots, N.$$

avec la restriction $x_i^2 + y_i^2 + z_i^2 = 1$.

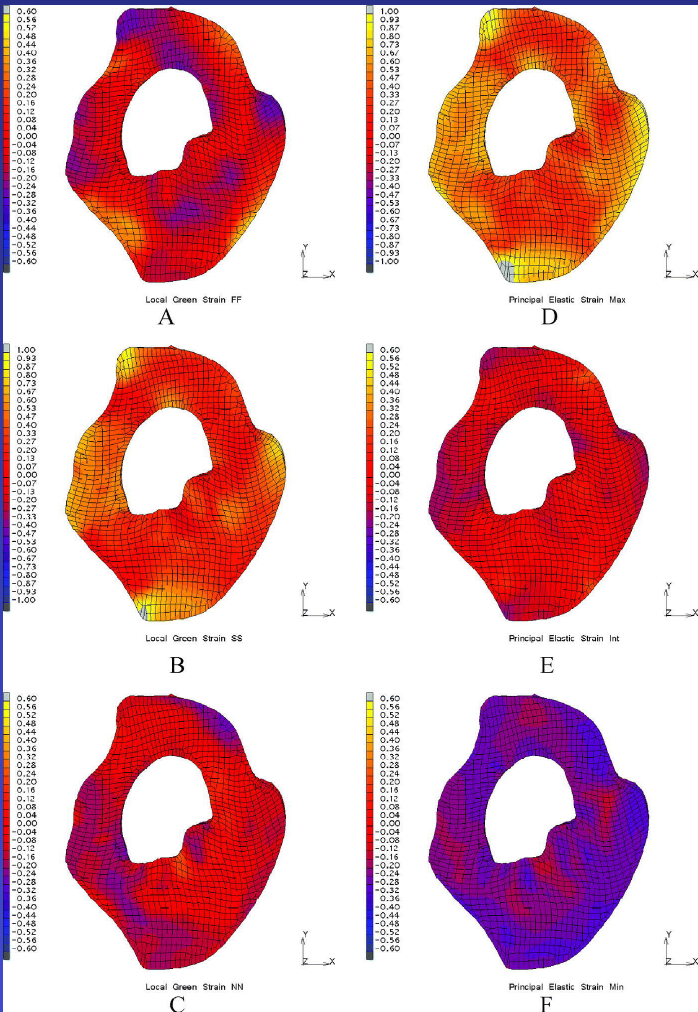
$$(x_i, y_i, z_i) = (\sin\Phi_i \cos\Psi_i, \sin\Phi_i \sin\Psi_i, \cos\Phi_i)$$

Marchés financiers



Données dimension N

Simulation Elements Finis




	Location			Temperature
	21.9	69.2	23.1	88.7
	95.3	11.9	99.7	78.9
	-	-	-	-
	-	-	-	-
	-	-	-	-
	-	-	-	-
	-	-	-	-
	-	-	-	-

Données: $(x_i, y_i, z_i; T_i), \quad i = 1, \dots, N,$
 Faces: $F_k = P_1, \dots, P_N,$
 Cellules: $C_j = F_1, \dots, F_M.$

- ORIGIN
 - Simulation or Observation
 - DOMAIN
 - 1D, 2D, 3D, nD
 - TYPE
 - Scalar, Vector, Tensor
 - REGULARITY OF DATA SITES
 - Cartesian, Curvilinear, Unstructured, Scattered
-